

КРАТКИЕ СООБЩЕНИЯ

УДК 551.217:552.311:551.735.1(234.853)

Н.В. Правикова

ЭТАПЫ ПРОЯВЛЕНИЯ ВУЛКАНИЧЕСКОЙ И ПЛУТОНИЧЕСКОЙ ДЕЯТЕЛЬНОСТИ В РАННЕМ КАРБОНЕ НА ЮЖНОМ УРАЛЕ (МАГНИТОГОРСКАЯ И ВОСТОЧНО-УРАЛЬСКАЯ ЗОНЫ)

Проблему синхронности проявлений вулканической и плутонической деятельности в пределах единых магматических поясов исследователи решают по-разному. Одни склонны считать эти процессы синхронными, другие ученые принципиально их разделяют, а трети полагают, что наряду с самостоятельными плутоническими комплексами существуют такие, которые связаны с вулканическими в вулкано-плутонические ассоциации. В статье сделана попытка построить общую корреляционную схему плутонических и вулканических комплексов раннего карбона для Магнитогорской и Восточно-Уральской зон Южного Урала (рис. 1, 2). Все рассмотренные интрузивные массивы имеют изотопные возрастные датировки, а возраст вулканических комплексов обоснован по фауне.

Плутонические комплексы

В пределах Магнитогорской зоны рассмотрены следующие plutоны раннего карбона (с севера на юг): Сыростанский, Тургоякский, Петропавловский, Заматохинский, Кассельский, Куйбасовский, Московский, Магнитогорский, а в Восточно-Уральской зоне — Челябинский, Чернореченский, Каменский, Неплюевский, Северо-Каиндинский и Каиндинский.

Магнитогорская зона. Сыростанский и Тургоякский массивы расположены в зоне Главного Уральского разлома, на западной границе Магнитогорской зоны. Они имеют форму, близкую к концентрической, их размеры 11×12 и 8×8 км соответственно.

Сыростанский plutон сложен биотит-роговообманковыми гранодиоритами, биотитовыми и двуслюдянymi адамеллитами и гранитами, с которыми ассоциируют разнообразные габброиды [6, 18]. Новейшие сведения о возрасте Сыростанского массива, полученные путем определения отношения $^{207}\text{Pb}/^{206}\text{Pb}$ в цирконах [4], следующие: "деформированные" габброиды и ассоциирующие с ними гранодиориты — 334 ± 4 (СырI) и 334 ± 5 (СырII) млн лет соответственно, прорывающие их массивные граниты — 327 ± 4 млн лет (СырIII). Однако Ar—Ar-возраст гранитоидов Сыростанского массива по биотиту определен в 304 ± 6 млн лет [2].

Главные разновидности пород Тургоякского массива — средне- и крупнозернистые биотит-роговообманковые гранодиориты и биотитовые граниты; как подчиненные разности упоминаются тоналиты, плагиограниты и граносиениты [14]. Возраст пород Тургоякского интрузива, определенный K—Ar-методом [17],

для гранитов центральной части составляет 314 ± 18 млн лет, для гранодиоритов и граносиенитов — 335 ± 18 млн лет (Тур).

Заматохинский массив имеет в плане эллипсовидную форму, вытянут в субширотном направлении, площадь его составляет приблизительно 40 км^2 . Массив

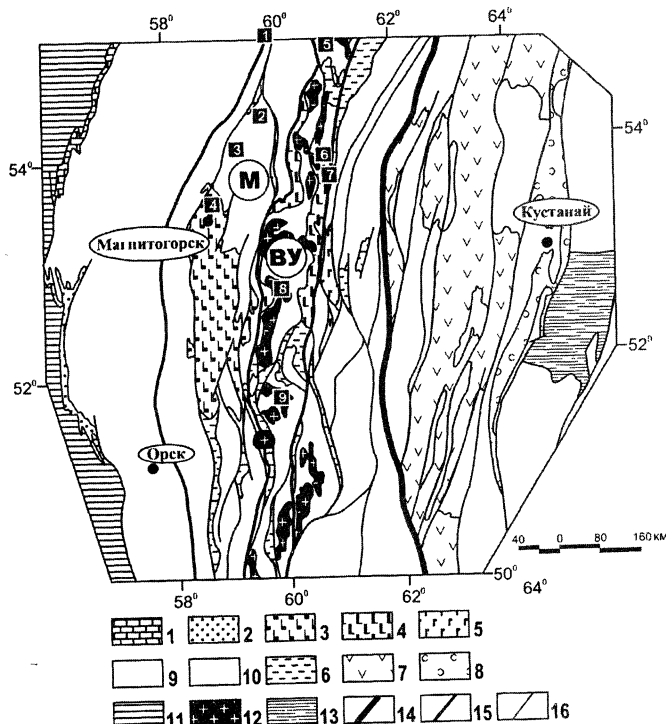


Рис. 1. Схема расположения нижнекаменноугольных комплексов и интрузивных массивов в структуре палеозойда Южного Урала и Зауралья (по [15], с изменениями и дополнениями): 1—8 — нижнекаменноугольные комплексы: 1 — терригенно-карбонатные, 2 — флишевые, 3 — базальт-риолитовые Магнитогорской зоны, 4 — риолит-базальтовые Восточно-Уральской зоны, 5 — базальтовые Зауральской зоны, 6 — терригенно-карбонатные Магнитогорской, Восточно-Уральской и Зауральской зон, 7, 8 — Валерьяновской зоны (7 — базальт-андезитобазальтовые, 8 — туфогенно-терригенно-карбонатные); 9—10 — докаменноугольные комплексы: 9 — окраины Восточно-Европейского палеоконтинента, 10 — окраины Казахстанского палеоконтинента; 11—13 — послекаменноугольные комплексы: 11 — среднекаменноугольно-пермские осадочные, 12 — позднепалеозойские гранитоиды; 13 — нижнетриасовые базальты; 14—16 — разломы: 14 — Тобольский (субтектура), 15 — границы зон (шовные зоны), 16 — прочие. Буквами в кружках обозначены зоны: М — Магнитогорская, ВУ — Восточно-Уральская. Буквами в квадратах обозначены интрузивные массивы: 1—4 — Магнитогорской зоны (1 — Сыростанский, Тургоякский; 2 — Петропавловский; 3 — Кассельский, Заматохинский; 4 — Магнитогорская группа (Куйбасовский, Московский, Магнитогорский)); 5—9 — Восточно-Уральской зоны (5 — Челябинский; 6 — Чернореченский; 7 — Каменский; 8 — Неплюевский; 9 — Каиндинский, Северо-Каиндинский)

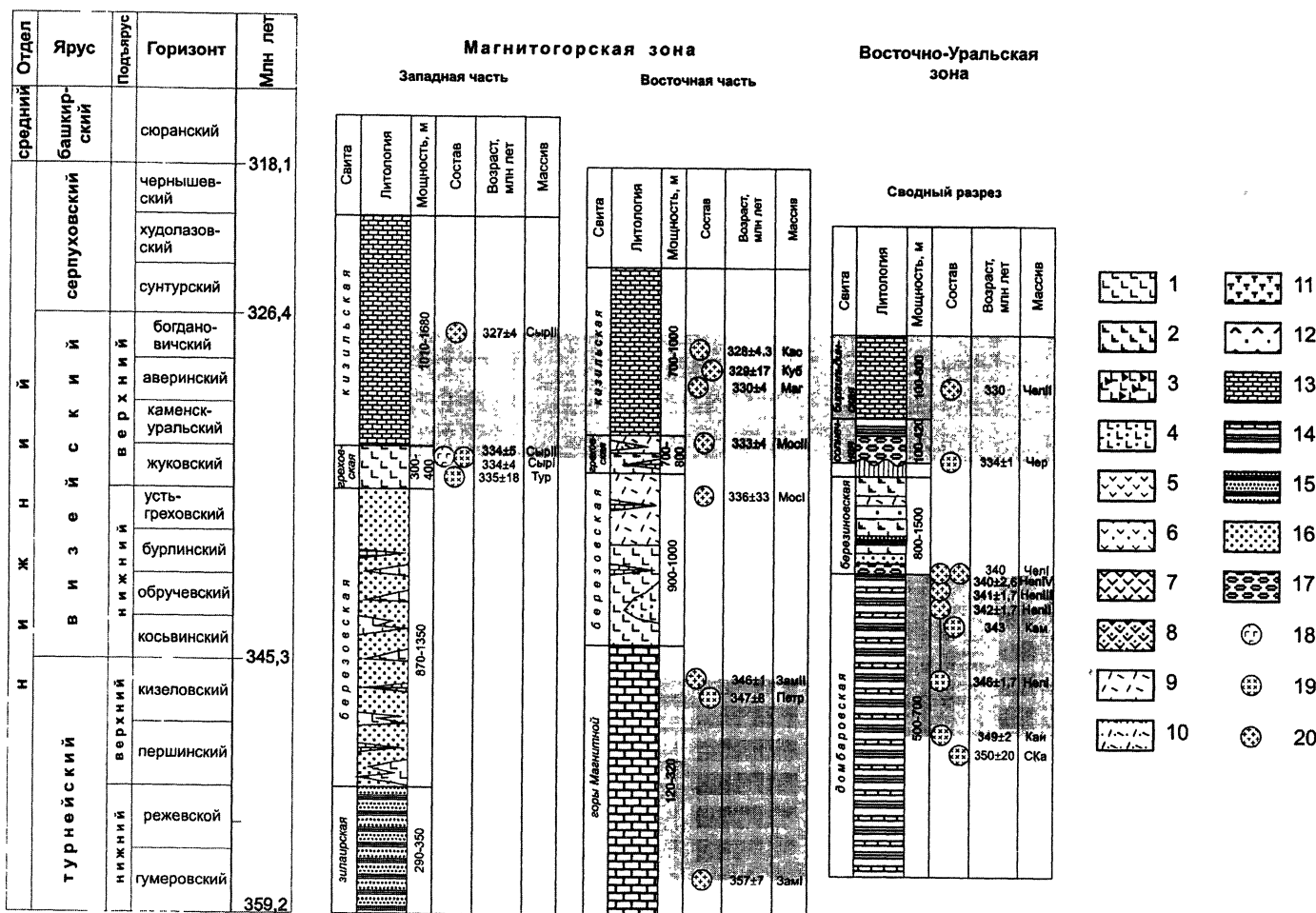


Рис. 2. Схема сопоставления разрезов нижнекаменноугольных вулканогенных комплексов и датировки интрузивных массивов в Магнитогорской и Восточно-Уральской зонах Южного Урала:

1 — базальты; 2 — трахибазальты; 3 — брекции базальтов; 4 — туфы базальтов; 5 — андезиты, андезитобазальты; 6 — туфы андезитов, андезитобазальтов; 7, 8 — красноцветные (континентальные) вулканиты; 7 — андезиты, 8 — туфы андезитов; 9 — риолиты, риодакиты; 10 — туфы риолитов, риодакитов; 11 — трахириолиты, трахидациты; 12 — туфогенно-осадочные породы; 13 — известняки; 14 — песчаники и алевролиты с прослоями известняков; 15 — песчаники и алевролиты; 16 — преимущественно песчаники; 17 — конгломераты; 18 — габброиды; 19 — гранодиориты; 20 — граниты

сложен главным образом средне- и крупнозернистыми биотит-рогоовообманковыми гранодиоритами, адамеллитами, менее развиты порфировидные граниты. Возраст адамеллитов, полученный Rb—Sr-методом, $357 \pm 7,5$ млн лет (ЗамI) [1], гранитов и гранодиоритов — 346 ± 1 млн лет (ЗамII) [11].

Петропавловский массив сложен адамеллитами и гранодиоритами, возраст последних по Rb—Sr-датировкам равен $347 \pm 8,6$ млн лет (Петр) [1].

Кассельский массив имеет каплевидную форму и включает две фазы. В составе первой преобладают монцодиориты и кварцевые монzonиты, постепенно переходящие в амфиболовые среднезернистые монцогаббро. Вторая фаза представлена мелко- и среднезернистыми умереннощелочными рогоовообманковыми гранитами и лейкогранитами, реже граносиенитами. По Rb—Sr-изохроне возраст пород равен $328,1 \pm 4,3$ млн лет (Кас) [5].

Магнитогорская группа массивов образует цепочку длиной более 150 км [8] и представлена габбро-гранитной гомодромной серией (оливиновые габбро, габбронориты, кварцевые диориты, монцодиориты, грано-

сиениты, граниты). Самые северные в этой цепочке сложно построенные Магнитогорский, Куйбасовский и Московский массивы имеют штокообразную форму. По Rb—Sr-датировкам их возраст равен 330 ± 4 (Mag), 329 ± 17 (Куб), 336 ± 17 (MocI) и 333 ± 4 (MocII) млн лет соответственно [9, 10].

Восточно-Уральская зона. Крупный Челябинский pluton, расположенный на севере Восточно-Уральской зоны, имеет ромбовидную форму с широтными и северо-восточными ограничениями. Он сложен породами нескольких комплексов. Каменноугольная часть plutona по K—Ar-данным имеет возраст 340 млн лет (ЧелI), а по U—Pb — 330 (ЧелII) и 365 млн лет [8].

Чернореченский массив имеет площадь около 90 км², вытянут меридионально на 13—14 км и представлен тремя фазами: 1) диориты и кварцевые диориты, 2) средне- и крупнозернистые тоналиты и гранодиориты, 3) среднезернистые плагиограниты [16]. Возраст пластовского комплекса, в состав которого входит Чернореченский массив, определен K—Ar-методом в 310—330 млн лет, а для собственно Чернореченского массива (Чер) составляет 334—335 млн лет [19].

Каменский массив вытянут субмеридионально и имеет каплевидную форму при размерах 14×9 км. Первая фаза представлена мелко- и среднезернистыми габбро-диоритами и диоритами, вторая фаза — среднезернистыми тоналитами и гранодиоритами, третья фаза — плагиолейкогранитами, плагиогранитами. Средний К—Аг-взраст пород Каменского массива (Кам) (4 пробы) составляет 343 млн лет [16].

Неплюевский массив имеет в плане форму параллелограмма с длинными сторонами (18–20 км) север-северо-западного простирания и короткими (12–14 км) — широтного. Он сложен мелко- и среднезернистыми габбро первой фазы, среднезернистыми гранодиоритами второй фазы (НепI), мелко- и среднезернистыми, существенно плагиоклазовыми гранитами третьей фазы (НепII, НепIII) и мелкозернистыми лейкогранитами четвертой фазы (НепIV) [16]. По минеральным Rb—Sr-изохронам возраст гранитоидов Неплюевского plutона оценивается в интервале 346–340 млн лет с последовательным омоложением от ранней фазы к поздней [7]. Полученные оценки согласуются с наличием обломков гранитоидных пород в терригенных отложениях верхнего визе [5].

Возраст пород Каиндинского массива (Кай) (самого южного из рассмотренных в работе), определенный Rb—Sr-методом, равен 349 ± 2 млн лет [8], а Северо-Каиндинского (СКА) по цирконам (Pb—Pb-метод) — 350 ± 20 млн лет [3].

Вулканические комплексы

Раннекаменноугольные вулканиты наиболее широко развиты в Магнитогорской зоне, локальнее — в Восточно-Уральской.

Магнитогорская зона. В Магнитогорской зоне раннекаменноугольные вулканогенные комплексы приурочены к ее восточной части. Они встречаются практически на всех уровнях нижнего карбона и представлены магнитогорской серией, в которую входят березовская и греховская свиты [5, 12].

Березовская свита сложена в основном умеренно щелочными вулканитами. Она, как правило, согласно залегает на подстилающих образованиях. Преобладающими породами являются трахибазальты, базальты, риодациты, риолиты, реже встречаются трахириодациты, трахириолиты, трахиандезитобазальты, андезитобазальты, трахиандезиты, андезиты. Кроме лав указанного состава в разрезах широко распространены пирокластические породы, а также вулканогенно-осадочные и осадочные. Мощность свиты составляет от 300–500 до 4200 м [15].

Возраст березовской свиты хорошо обоснован находками органических остатков (в основном фораминиферами) в прослоях известняков [12]. Наиболее устойчиво подошва березовской свиты прослеживается с кизеловского горизонта верхнего турне, а кровля фиксируется по перекрыванию ее греховской или кизильской свитой.

Греховская свита залегает на березовской и представлена трахибазальтами, трахиандезитами, трахириодацитами, реже базальтами, трахиандезитобазальтами, андезитобазальтами, андезитами, риолитами, изредка дацитами и трахидацитами, их кластоловами, туфами, ксенотуфами, туффитами, туфогенно-осадочными породами различной зернистости с прослоями известняков. Мощность свиты меняется от 1300 до 3300 м. Она перекрыта известняками кизильской свиты.

Возраст греховской свиты определен по находкам органических остатков в прослоях известняков среди вулканитов. Stratigraphическое положение ее подошвы крайне неустойчиво (от косьвинского до жуковского горизонтов), но, как правило, она расположена вблизи границы нижнего и верхнего визе. Кровля свиты проходит внутри каменско-уральского горизонта [12].

Восточно-Уральская зона. В Восточно-Уральской зоне раннекаменноугольные вулканиты участвуют в строении синформных пакетов тектонических пластин. В западной части зоны выделяется березиновская толща, которая согласно залегает на терригенной домбаровской свите, а на востоке вулканогенные породы участвуют в строении таяндинской и кабанской свит. Первая залегает на угленосной брединской свите турне—раннего визе [16], а вторая с несогласием перекрывает фамен-турнейские туфогенно-терригенные и карбонатные толщи [13].

Березиновская толща сложена пачками вулканогенных, вулканогенно-осадочных, осадочных пород мощностью от нескольких метров до нескольких сотен метров при общей мощности более 1500 м. В ее низах присутствуют туфогенно-осадочные и терригенные породы, разнообразные базальтоиды, их туфы и брекчии. Верхи сложены средними, кислыми вулканитами, которые перекрываются литокластическими туфами базальтоидов с обломками риолитов, риодацитов. В составе березиновской толщи наибольшим распространением пользуются порфировые трахибазальты и базальты с массивной и шаровой текстурой. Среди кислых эфузивов типичны порфировые и флюидальные сферолитовые риолиты. Возраст толщи по редким сборам органических остатков устанавливается как визейский [16].

Таяндинская толща — аналог березиновской на востоке Восточно-Уральской зоны — сложена туфогенно-осадочными породами, выше которых залегают долериты, спилиты, миндалекаменные базальты, андезитобазальты, андезиты, андезитодиациты, риолиты и их туфы. Мощность толщи 800 м [15].

Кабанская свита распространена севернее полей развития таяндинской толщи и слагает крылья крупной синклинальной складки, в ядре которой выходят терригенно-карбонатные породы среднего визе—московского яруса. Кабанская свита сложена субщелочными базальтами, андезитобазальтами и их туфами, среди которых в верхней части появляются андезиты, андезитодиациты, дациты и риолиты. Разрез завершают лавы и туфы трахиандезитобазальтов, трахиандезитов

и трахиадитов, чередующиеся с прослойми вулканогенно-осадочных пород. Мощность свиты достигает 1500 м [15]. Органические остатки в кабанской свите и таяндинской толще не обнаружены, их возраст принимается визейским по расположению в разрезе и по аналогии с фаунистически охарактеризованной березиновской толщей [13, 16].

Обсуждение материалов. Основная сложность составления общей корреляционной схемы магматических комплексов состоит в том, что интрузивные массивы, как правило, датированы изотопными методами по *абсолютной геохронологической шкале* и редко имеют четкие относительные возрастные границы, а возраст вулканических комплексов в лучшем случае определяется по фауне и привязан к *относительной стратиграфической шкале*. И если стратиграфическая шкала в настоящее время разработана весьма подробно, то имеющиеся геохронологические шкалы пока еще очень грубы и во многом не совпадают. В работе использована геохронологическая шкала, предложенная 32-м Международным геологическим конгрессом (Флоренция, август 2004 г.) [20].

Если судить по материалам, полученным для Неплюевского массива [7], а также принять во внимание мировые данные, то время формирования многофазного plutона можно оценить в 6–8 млн лет. Поэтому при анализе разрозненных цифр изотопных датировок для разных массивов “синхронными”, вероятно, следует считать те, которые укладываются в общий интервал ~10 млн лет. При имеющихся в настоящее время материалах большая точность вряд ли целесообразна.

Магнитогорская зона. Анализ имеющихся материалов показывает, что в Магнитогорской зоне в раннем карбоне можно выделить два интервала активной плутонической деятельности. К *первому интервалу* (357–346 млн лет, середина турне) относится внедрение Заматохинского и Петропавловского массивов. Этот интервал соответствует накоплению карбонатных отложений свиты горы Магнитной. В течение *второго интервала* (334–327 млн лет, поздний визе) произошло внедрение гранитоидов Тургоянского и Сыростанского plutонов, а также массивов Магнитогорской группы (датировки для Тургоянского и Московского массивов, составляющие 335 ± 18 и 336 ± 33 млн лет соответственно, не включены в интервал из-за низкой точности). Это время соответствует концу формирования вулканогенной магнитогорской серии и началу авулканического этапа, в течение которого накапливались мелководно-морские известняки кизильской свиты, датированной как поздний визе—серпуховской век [12]. Большинство авторов [5, 11] описывают магматические комплексы визейского века в составе вулкано-плутонических ассоциаций. С этим мнением можно согласиться, если учесть, что обычно плутонические комплексы вулкано-плутонических ассоциаций следуют после вулканических.

Восточно-Уральская зона. В пределах Восточно-Уральской зоны также можно достаточно уверенно

выделить два интервала активной плутонической деятельности в раннем карбоне.

Первый интервал (349–340 млн лет — конец турнейского века—начало визейского) характеризуется внедрением крупных многофазных plutонов: Неплюевского, Северо-Каиндинского, Каиндинского, Суандукского (пока не имеет изотопных датировок, но относится к неплюевскому комплексу), возможно, части Челябинского plutона. Этот интервал совпадает со временем формирования угленосной брединской свиты и непосредственно предшествует началу вулканической деятельности — формированию березиновского комплекса и его аналогов [16].

Во *второй интервал* (334–330 млн лет — поздний визе) внедрялись массивы пластового комплекса и его аналогов (Чернореченский, Челябинский и др.). В пределах Восточно-Уральской зоны этот интервал соответствует постсудетской фазе стабилизации, выраженной в накоплении карбонатных комплексов (Биргильдинская толща и ее аналоги). Предшествующая ей судетская фаза тектогенеза проявлена в резко несогласном наледании базальных валунных конгломератов верхневизейской солнечной толщи на гранитоиды неплюевского комплекса [5, 16].

Выводы. 1. В пределах Магнитогорской и Восточно-Уральской зон Южного Урала выделяются два главных раннекаменноугольных интервала формирования плутонических комплексов. Первый соответствует времени 357–346 млн лет в пределах Магнитогорской зоны и 349–340 млн лет в Восточно-Уральской. Второй интервал охватывает период 334–327 млн лет в обеих зонах.

2. Первый и второй интервалы плутонической деятельности не только примерно одинаковы по продолжительности, но и близки по отношению к тектоническим обстановкам. В обоих случаях им соответствует спокойная обстановка, характеризующаяся накоплением осадочных комплексов (карбонатных и терригенно-угленосных). Таким образом, формирование плутонических комплексов раннего карбона на Южном Урале оказывается синхронным не фазам тектогенеза, а фазам стабилизации, сопровождавшимся накоплением тонкотерригенных и карбонатных осадков.

3. Этапы вулканизма проявлены неравномерно, но укладываются главным образом между интервалами плутонической деятельности, вследствие чего активные проявления вулканической и плутонической деятельности оказываются разнесенными во времени. При этом этапы вулканической и плутонической деятельности вполне *соизмеримы* по продолжительности.

4. Для раннего интервала отмечается отчетливое смещение во времени проявлений плутонической деятельности с запада на восток, что соответствует установленному ранее характеру смещения раннекаменноугольной вулканической деятельности [15].

Работа поддержана программой “Ведущие научные школы” (НШ-5280.2006.5).

СПИСОК ЛИТЕРАТУРЫ

1. Горожанин В.М. Рубидий-стронциевый изотопный метод в решении проблем геологии Южного Урала: Автореф. канд. дис. Екатеринбург, 1995.
2. Иванов К.С. Основные черты геологической истории (1,6—0,2 млрд лет) и строения Урала: Автореф. докт. дис. Екатеринбург, 1998.
3. Корреляция магматических комплексов Оренбургского Урала: Препринт. Свердловск, 1989.
4. Монтеро П., Беа Ф., Ферштатер Г.Б. и др. Изотопное датирование Сыростанского гранитоидного массива: вклад в изучение истории развития Главного Уральского глубинного разлома (предварительные данные) // Проблемы петрогенеза и рудообразования: Тез. докл. науч. конф. "Чтения памяти А.Н. Заварицкого". Екатеринбург, 1998.
5. Мосейчук В.М., Яркова А.В., Михайлов И.Г. и др. Государственная геологическая карта РФ масштаба 1:200 000. Серия Южно-Уральская. Лист N-40-XXIV: Объясн. зап. Челябинск, 2000.
6. Попов В.С., Богатов В.И., Чаплыгина Н.Л., Панина Т.Ю. Сыростанский plutон на Южном Урале: пример мультиплетной интрузивной серии // Магматизм, метаморфизм и глубинное строение Урала. Ч. 2. Екатеринбург, 1997.
7. Попов В.С., Тевелев Ал. В., Беляцкий Б.В. и др. Изотопный Rb—Sr возраст Неплюевского plutона и близлежащих интрузивных тел (Южный Урал) // Докл. РАН. 2003. Т. 391. № 1. С. 89—94.
8. Пучков В.Н. Палеогеодинамика Южного и Среднего Урала. Уфа, 2000.
9. Ронкин Ю.Л. Изотопы стронция — индикаторы эволюции магматизма Урала // Ежегодник-1988. Свердловск, 1989. С. 107—110.
10. Ронкин Ю.Л., Переира А., Лепихина О.П. Sr—Nd систематика Магнитогорской группы массивов // Гранитоидные вулкано-плутонические ассоциации: Тез. докл. Всероссийского совещания. Сыктывкар, 1997.
11. Салихов Д.Н., Митрофанов В.А. Интрузивныймагматизм верхнего девона — нижнего карбона Магнитогорского мегасинклиниория (Южный Урал). Уфа, 1994.
12. Салихов Д.Н., Яркова А.В. Нижнекаменноугольный вулканизм Магнитогорского мегасинклиниория. Уфа, 1992.
13. Магматизм Восточно-Уральского пояса Южного Урала. Уфа, 1990.
14. Структурное и петрологическое изучение магматических комплексов Миасского учебного полигона: Учебное пособие / П.Л. Тихомиров, Т.О. Федоров, В.И. Борисенок и др. Челябинск, 2003.
15. Тевелев Ал.В., Дегтярев К.Е., Тихомиров П.Л. и др. Геодинамические обстановки формирования каменноугольных вулканических комплексов Южного Урала и Зауралья // Очерки по региональной тектонике Урала, Казахстана и Тянь-Шаня. Т. 1. Южный Урал. М., 2005. С. 213—247.
16. Тевелев А.В., Кошелева И.А. Геологическое строение и история развития Южного Урала (Восточно-Уральское поднятие и Зауралье). М., 2002.
17. Турбанов В.Ф. и др. Государственная геологическая карта СССР масштаба 1:200 000. Сер. Среднеуральская. Лист N-41-VII. Свердловск, 1984.
18. Ферштатер Г.Б., Беа Ф., Бородина Н.С. и др. Надсубдукционные анатектические гранитоиды Урала // Геология и геофизика. 2002. Т. 43. № 1. С. 42—56.
19. Шатагин К.Н., Астраханцев О.В., Дегтярев К.Е., Луцицкая М.В. Неоднородность континентальной коры Восточного Урала: результаты изотопно-геохимического изучения палеозойских гранитоидных комплексов // Геотектоника. 2000. № 5. С. 44—60.
20. Gradstein F.M., Ogg J.G., Smith A.G. et al. A geologic time scale 2004 // Geol. Surv. of Canada. 2004. Miscellaneous Report 86, 1 poster.

Поступила в редакцию
07.12.2005